

Zakład Badawczo Lecznicy Chorób Nerwowo – Mięśniowych
Instytut Medycyny Doświadczalnej i Klinicznej PAN
ul.Pawińskiego 5, 02-106 Warszawa
Tel/ fax /4822/ 658 45 01

Badanie wycinka mięśniowego w mikroskopie świetlnym

Nr: 40/2011

Imię i nazwisko :

Wiek: 37

Rozpoznanie: Miopatia

Data pobrania wycinka: 6 XII 2011r.

Mięsień: quadriceps dx.

Barwienie: H-E, trichrom Gomoriego, DHB, DHM, DPNH, ATP-azy

W pobranym wycinku ogromna większość włókien mięśniowych wykazuje prawidłową średnicę i strukturę wśród nich rozrzucone nieregularnie włókna o znacznie zmniejszonej średnicy wykazują cechy aktywności włókien typu 1. Podział włókien na typy metaboliczne zachowany w niektórych przewaga włókien typu 1. Wśród włókien w obrębie paru pęczków widoczne nerwy wewnątrz mięśniowe.

Wnioski: niecharakterystyczne cechy uszkodzenia pierwotnie mięśniowego.

Analiza ultrastrukturalna wykazała anomalię niektórych jąder mięśniowych cechujących się odwarstwieniem błony zewnętrznej od wewnętrznej jądra.

Immunohistochemia wykazała obecność białek laminy A/C, A, B2 i emeryny

Prof. dr hab. A. Fidziańska- Dolot

4714926
Prof. dr hab. A. Fidziańska- Dolot
specjalista neurolog
02-758 Warszawa
ul. Neseberska 3 m. 41

40/11 (54/11 ME)

Rozpoznanie: Miopatia

Fig. 1. Włókna mięśniowe o niezmienionej ultrastrukturze i zachowanym układzie sarkomerów.

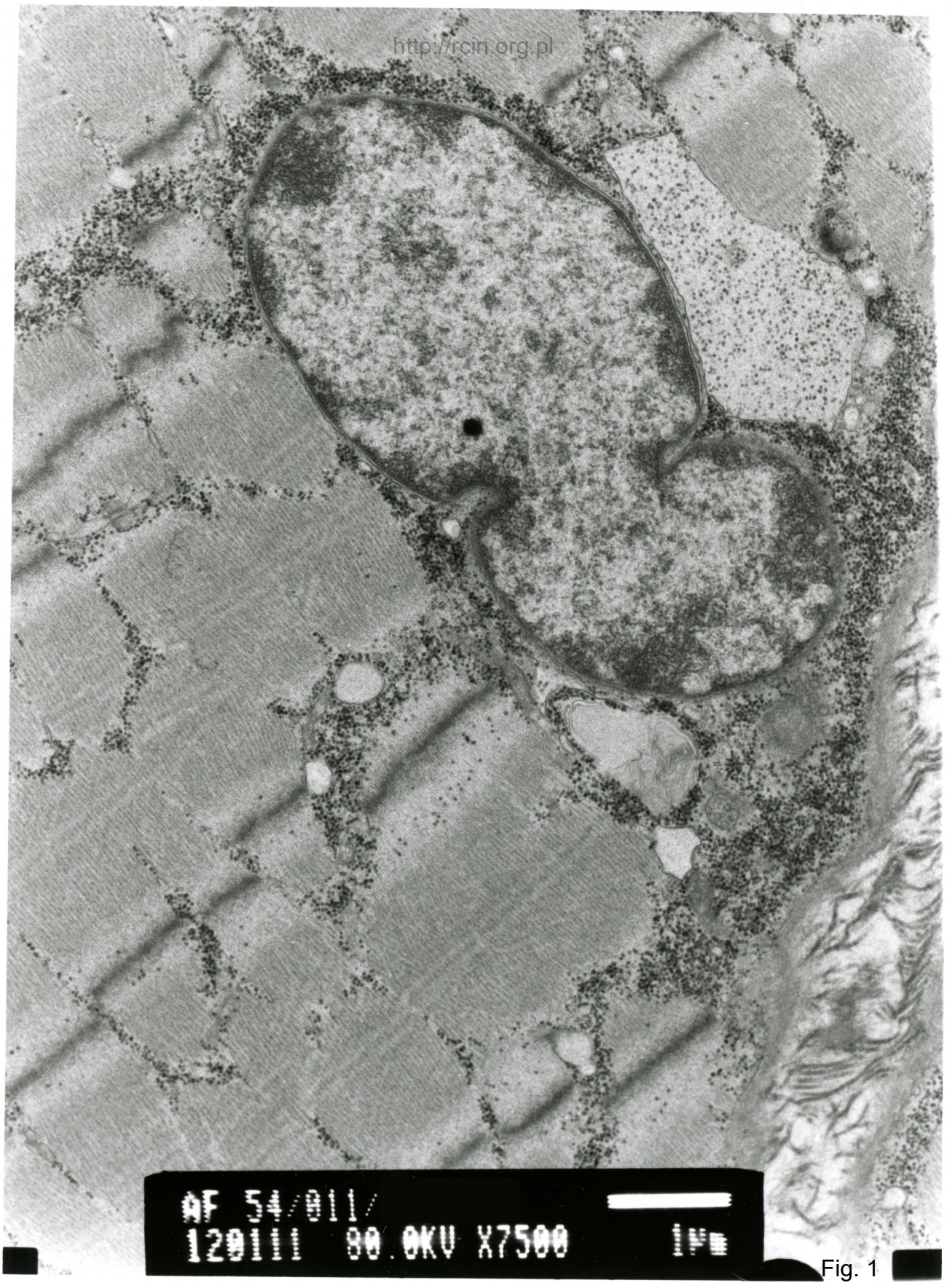
Fig. 2,3. W niektórych włóknach obserwuje się nieprawidłowości w budowie aparatu kurczliwego, układ sarkomerów jest zaburzony.

Fig. 4,5. Widoczne nieprawidłowości w budowie niektórych jąder komórek mięśniowych, cechujących się odwarstwieniem błony jądrowej zewnętrznej od wewnętrznej.

Summary

A 37-year-old patient with suspected myopathy was examined. A biopsy of quadriceps dexter was performed.

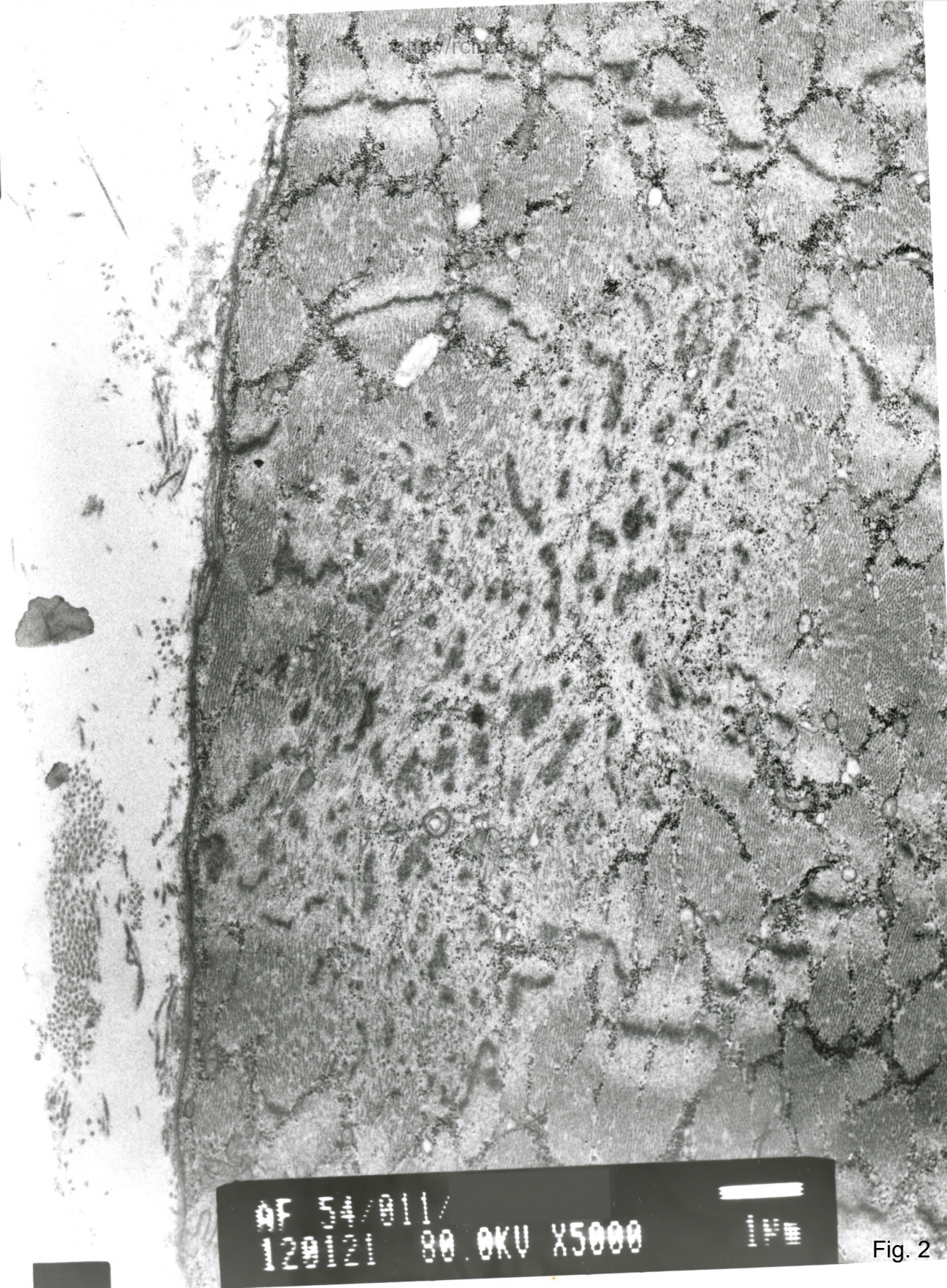
Electronmicroscopy analysis revealed in the majority of the specimen ultrastructurally unchanged muscle fibers of normal myofibrils structure (Fig. 1). In some muscle fibers the contractile apparatus is focally altered and sarcomers structure was changed (Fig. 2,3). Also damage to nuclear envelope and ultrastructural abnormalities within nuclei were observed within some cells were observed (Fig. 4,5).



AF 54/911/
120111 80.0KV X7500

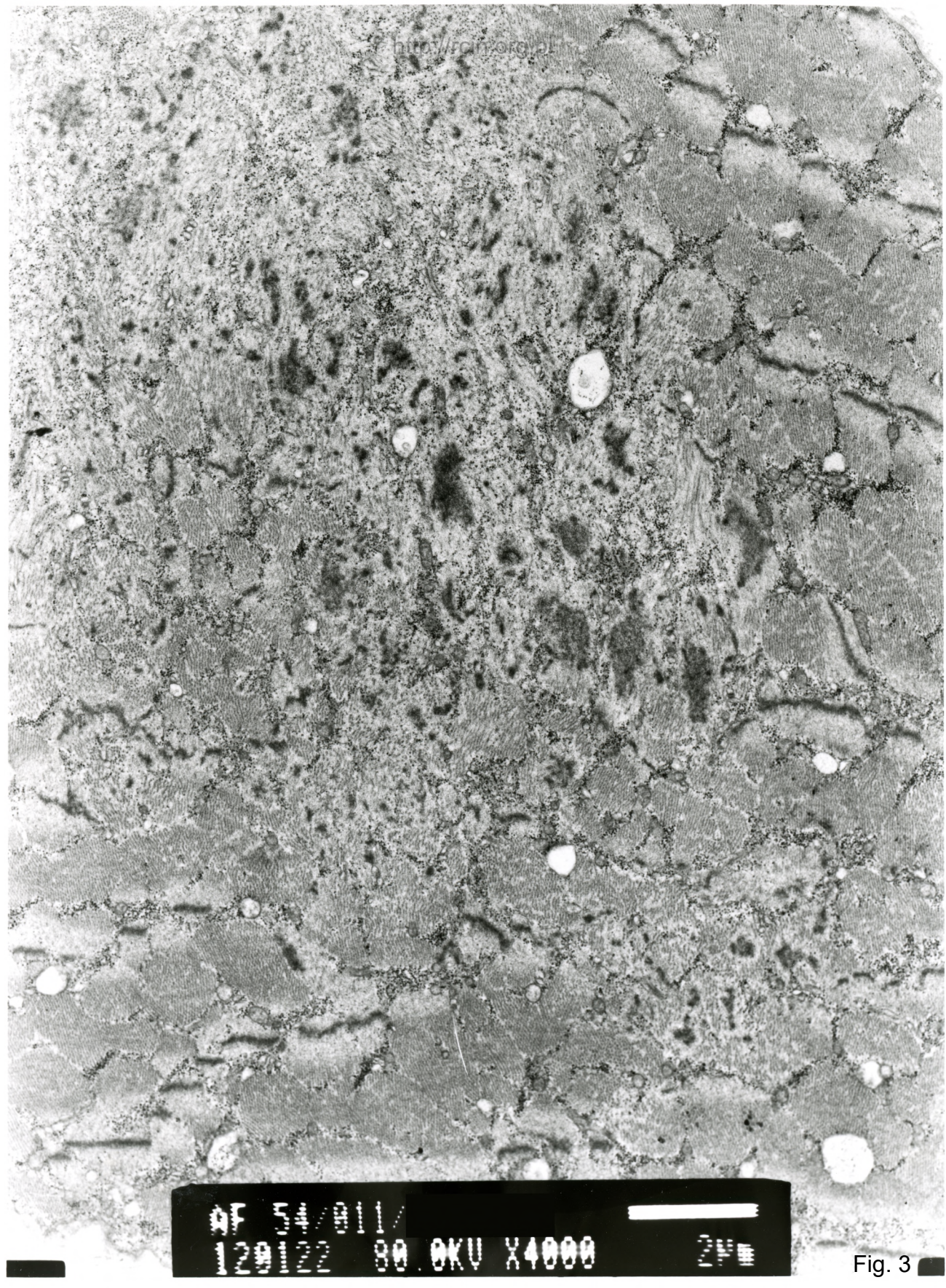


Fig. 1



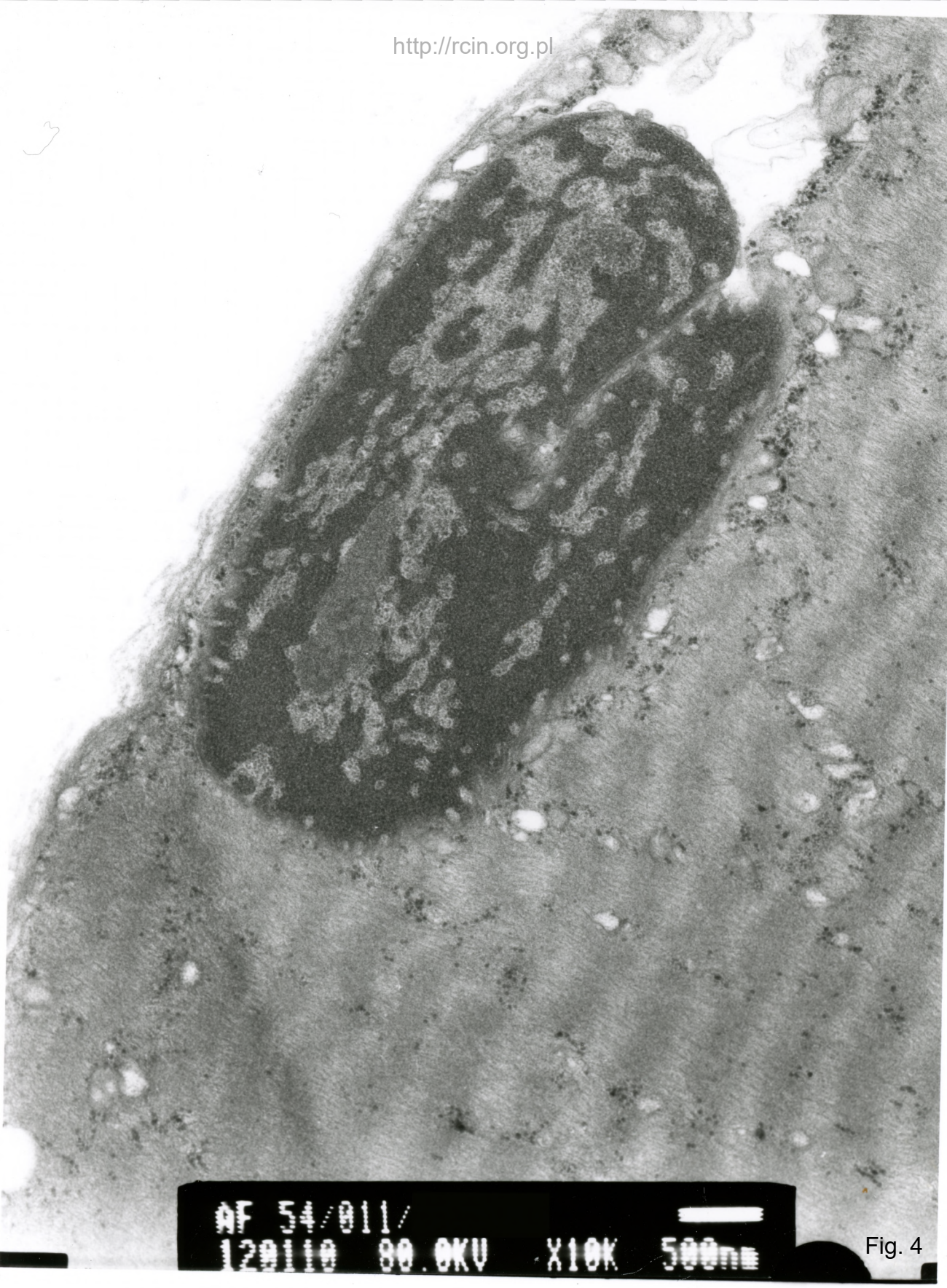
AF 54/011/
120121 80.0KV X5000

Fig. 2



AF 54/911
120122 80.0KV X4000 2µm

Fig. 3



AF 54/011/
120110 00.0KV X10K 500nm

Fig. 4



Fig. 5